



嵌套混合模式振荡的分岔结构

Sekikawa Munehisa

日本, 宇都宫大学工学院基础工程系321-8585, 宇都宫
sekikawa@cc.utsunomiya-u.ac.jp

稻叶直彦

日本, 藤泽251-8511, 雄南工业大学电气和信息工程研究生院, naohiko@yomogi.jp

2020年8月31日收到; 修订2020年12月2日

在最近发表的工作[Inaba&Kousaka, 2020a; Inaba&Tsubone, 2020b]中, 我们发现了嵌套的混合型振荡(MMO)分岔结构。已知简单混合型振荡增量分岔(MMOIBs), 在 A_0 -和 B_0 -振荡的区域之间连续产生 $[A_0, B_0]$ 振荡, 其中 A_0 和 B_0 是相邻的简单MMO, 例如 $A_0 = 1^s$ 和 $B_0 = 1^{s+1}$, 其中 s 是整数。MMOIBs是具有明显强有序性的普遍现象, 并在化学中得到了广泛的研究, 物理学和工程学。嵌套MMOIBs是一种更复杂的现象, 但具有更强的阶数, 它产生的混沌MMO窗口包括连续 n 的序列 $[A_1, B_1]$, 其中 A_1 和 B_1 是相邻的MMOIB产生的MMO, 即对于整数 m 为 $A_1 = [A_0, B_0]$ 和 $B_1 = [A_0, B_0(m+1)]$ 。本文研究了由经典强迫Bonhoe-Er-Van der Pol振荡器所显示的嵌套MMOIB产生的MMOs的分岔结构。我们用数值方法制备了双参数和单参数分岔图。对于 $s=2$ 的连续 $n=1,2,3$ 的系统。我们的分析表明, 嵌套MMOs可以被广泛观察到, 并且是明显有序的现象。然后, 我们对嵌套MMO的返回映射进行分析, 这些映射说明了连续嵌套的MMOIBs的外观。

关键词: 混合型振荡; 混合型振荡-增量分岔; 嵌套混合模振荡。

1. 介绍

混合模式振荡是在化学实验中发现的, 近年来得到了广泛的研究 [Hudson等人, 1979; Orban和Epstein,1982; Maselko和Swinney,1986; Albahadily等人, 1989; Bröns等人, 2008]。这些振荡系统周期性地经历 L 个大的漂移, 然后是 s 个小的峰; “ L^s ”是用来区分振荡的。但是很多人对于混合模式

MMO的认识尚不明确, 但它们普遍出现在扩展的慢-快和多尺度动力学中, 在这些动力学中可以看到鸭式弹道[Bröns et al., 2008; Petrov et al., 1992; Yoshinaga et al., 1988; Kuehn, 2015]。鸭式鸭是在20世纪80年代初提出的, 是非线性动力学中的一个重要分支[Benoit et al., 1981; Diener, 1984; Zvonkin&Shubin, 1984; Baer&Erneux, 1986]得人的理论, 近年来受到诸多学者的广泛的研究

阿诺尔德, 1994年; Guckenheimer等人, 2000].从理论上讲, MMOs是鸭角的一个子集。数值研究和电路实验证实了鸭角出现在Bonhoefer-van der Pol(BVP)振荡器中[Itoh&Tomiyasu,1990]。BVP示波器的动力学与Fitzhugh-Nagumo系统的动力学是等价的结构体系[FitzHugh等, 1962]。然而, Brøns等人认为, 在100多年前, MMOs在实验上是不被涵盖的, 这表明这种现象可能更普遍地出现在慢-快系统中[Brøns等人, 2008]。MMOs已经在各种可以经历鸭式爆炸的扩展动力学中被观察到, 例如在松弛振荡附近的噪声诱导振荡动力学中[Ryashko, 2018; 苏杜&库恩, 2018年; Muratov&Vanden-Eijnden, 2008], 超临界[Kuta Figurna, 2015]和亚临界Hopf分叉点附近的强迫鸭翼[Shimizu et al., 2011; Shimizu等人, 2012年; Shimizu等人, 2015年; Shimizu&Inaba, 2016a; Kousaka等人, 2017年; Inaba&Kousaka, 2020a; Inaba&Tsub-One, 2020b], 和扩展的三变量鸭翼生成动力学[Kawczynski&Strizhak, 2000年; Petrov等人, 1992年; Rachwalska&Kawczynski, 2001年; Sekikawa等人, 2010年; Shimizu&Inaba, 2016b; Yoshinaga et al., 1988].在过去的四十年里, MMOs一直是紧张研究的主题[Scott, 1993; Brøns等人, 2006年; Krupa等人, 2008年; Markman&Bar-Eli, 1994年; Brøns等人, 1997年; 苏杜&库恩, 2018年; Muratov&Vanden-Eijnden, 2008年; 德梅斯-查尔克等人, 2014年; 弗莱雷&加拉, 2011a, 2011b; Desroches等人, 2013年; Guckenheimer&Scheper, 2011年; Desroches等2012年; Sekikawa等人, 2010年; Kousaka等人, 2017年; 高桥等人, 2018]。

简单MMO背后的机制已经在理论上阐明[Kuehn, 2015; Brøns et al., 2006; Krupa et al., 2008; Kuta et al., 2015; De Maesschalck et al., 2014; Guckenheimer&Scheper, 2011; Desroches et al., 2012]。然而, 对MMOs的数值研究揭示了极其复杂的MMO分叉, 包括将MMOs添加到系统轨迹中的强有序现象。Kawczynski等人。[Kawczynski等人, 2000年; Kawczynski&Strizhak,2000年]和Rachwalska等人。[Rachwalska和Kawczynski, 2001]发现了一个三变量自治常微分方程组中的MMO加法现象, 并阐明了这些现象连续多次发生, 类似于

圆映射中的加周期分岔。清水等人。在强迫BVP动力学中, 发现了最简单的MMO-增加现象, 用[12,13]表示, 并将由此产生的分叉称为MMO-增量双阳离子(MMOIBs)[Shimizu et al., 2012]。

库萨卡等人[2017]使用包含二极管的约束BVP振荡器研究了MMOIBs的产生。这个受限的BVP OSCIL-Lator用一个非常大的参数 g 来描述, 该参数 g 对应于二极管的导通。当 g 趋于有限时, 控制方程由分段的一维(1D)非自治方程写成, 而Poincaré的返回映射正好是1D。使用一维返回图, Kousaka等人。[2017]证明了MMOIBs可以连续发生多次, 且每个MMOIB之间上一个分叉参数区间与下一个分叉参数区间的极限比收敛于1。MMOIBs的研究非常重要, 因为了解MMOIBs在建立化学反应和心肌心律失常的控制策略方面发挥了重要作用[Tsumoto et al., 2017]。因此, 工程师和研究人员在医学、化学和工程等领域取得了许多研究成果。

在之前的一项研究[Inaba&Kousaka, 2020a]中, 作者检查了这些受约束的动力学, 以阐明MMOs可以嵌套。即, 在 l^2 和 l^3 个产生区之间(未嵌套的)MMOIBs产生连续 n 个 $[l^2, l^3]$ $n+1$ 个振荡的序列。嵌套的MMOIBs生成 $3n+2$ 嵌套的MMO序列, 在产生两个相邻的MMOIB产生的 $[l^2, l^3]$ 和 $[l^2, l^3]$ MMO的区域之间连续 n 个。此外, 我们发现嵌套的MMO发生在经典的强迫BVP Oscillator[Inaba&Tsubone,2020b]中。我们设想一些研究人员可能已经观察到嵌套的MMOIB产生的MMO, 因为MMOIB有享有广泛的数值研究[Kawczynski et al., 2000; Kawczynski&Strizhak, 2000; Rachwalska&Kawczynski,2001; Scott, 1993; Shimizu et al., 2012; Shimizu&Inaba, 2016a]和实验研究[Albahadily et al., 1989; Maselko&Swin-Ney, 1986; Shimizu et al., 2015; Shimizu&Inaba, 2016b]。然而, 这些作者可能没有识别观察到的现象, 因为这种术语可能非常容易理解为

嵌套MMOIBs而不事先知道MMO Pat-Tern。我们推导出嵌套MMOIBs可以对连续整数和 m 产生嵌套MMO序 $[[1^2, 1^3]]$ 这项工作是有限的；然而，在这一点上，我们只适用于 $m=1$ 的情况，我们没有准备双参数分岔图。

本文报道了 $m=1,2,3$ 的经典BVP振子的单参数和双参数分岔图和返回图。因为动力学是慢-快的当 $x > 1$ 时，非线性导体特性 $(x + x^3)$ 非常陡峭，返回图近似为1D。用打靶法制备了双参数双阳离子图 Kawakami[1984]提出的算法。这些图表明，嵌套的MMOIB产生的MMOs通过鞍结点分叉出现，倍周期分叉使MMOs消失。由于双参数分岔图中不出现复杂的分岔，我们得出嵌套MMOs是稳定的。在我们研究单参数分岔图的精度水平上，我们得出结论，当 $m=1,2,3$ 时，嵌套MMOIB生成的MMO最容易出现。这一结论表明，在长达30多年的MMO研究历史中，一些研究人员可能一直在观察嵌套MMO的时间序列波形，而没有认识到它们的有序性质，因为它们看起来很复杂。

本文的其余部分组织如下。第2节详细描述了感兴趣的动力系统。第三节随后提出并讨论了分岔图、时间序列波形和返回图，以证明嵌套MMOs的通用性和有序性。在第4部分中得出了结论。

2. 电路设置

经典强迫BVP振荡器的电路图如图所示。1(a).在图中， x 和 y 是分别对应于电容 C 上产生的电压和通过电感 L 的电流的状态变量。由于符号 L 也被用作MMOs中的大电流的数目，我们通过重新标度系统以使电感 L 归一化为1来避免混淆。在本文中， $C=\epsilon$ 是一个小参数，在本研究中被设置为0.1。因此，动力学是慢-快的，即 x 快速变化，并且 y 变化很慢。 k_1 是线性电阻器， B_0 是直流电压源。此外， $g(x)$ 是通过非线性负阻导体的电流，其特性由以下三阶多项式函数表示：

$$g(x) = -x + x^3. \quad (1)$$

在下面的讨论中，使用规范化的变量和参数。最后， ω 和 B_1 分别为forcing项的角频率和振幅，它们随

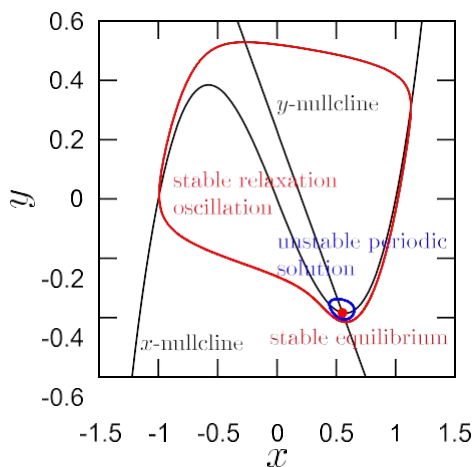
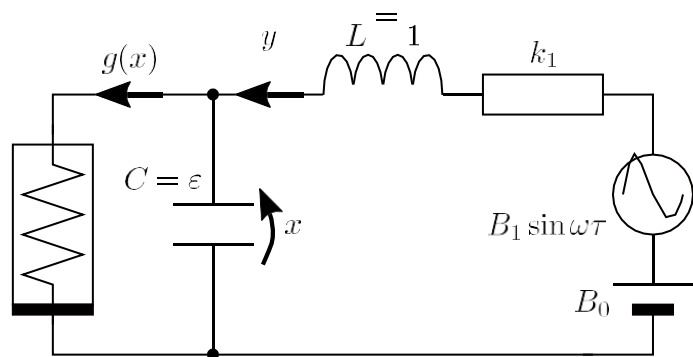


图1. (a) 亚临界Hopf分岔点附近受迫BVP振荡器的电路图；(b) 无扰动时 $(x-y)$ 平面的几何结构。红色：稳定弛豫振荡；蓝色：不稳定周期解；红色子弹：稳定平衡。

分叉参数。常数参数设置为 $k_1=0.9$, $B_0=0.207$ 。在这些参数值下, 在没有扰动的情况下, 由于亚临界 Hopf 分岔, 一个稳定的平衡点与一个稳定的弛豫振荡共存。图1(b)显示了在没有扰动的情况下的 $x-y$ 平面, 其中稳定的平衡点。给出弛豫振荡、不稳定周期振荡和零值线。注意, 在双端元件中, 产生的电压为, 两端的电流和注入元件中的电流在动力学中起着至关重要的作用, 双端元件从不充当具有输入和输出电压端子的模拟电路[Matsumoto et al., 1985]。由于这种结构, 这种自然回路有时等价于 Fitzhugh-Nagumo 模型[FitzHugh, 1961; Nagumo 等人, 1962]。该电路的控制方程由以下两个非定常系统表示:

$$\begin{cases} \varepsilon \dot{x} = y - g(x), \\ \dot{y} = -x - k_1 y + B_0 + B_1 \sin \omega \tau \left(\frac{d}{d\tau} = \cdot \right). \end{cases} \quad (2)$$

会出现简单的混合模式振荡。为了在单参数分岔图中精确观察 MMOs 的行为, 下面是

$$\begin{aligned} \Pi_- &= \{(\tau, x, y) \mid x = 1, y - g(x) < 0 (\dot{x} < 0)\}, \\ \Pi_+ &= \{(\tau, x, y) \mid x = 1, y - g(x) > 0 (\dot{x} > 0)\}, \\ \Sigma_1 &= \{(\tau, x, y) \mid x = 1, y - g(x) = 0 (\dot{x} = 0)\}. \end{aligned} \quad (3)$$

图2给出了受迫 BVP 振荡器在二维状态空间中的动力学特性。2. 让我们考虑一个留下一个, 离开 π - 的溶液进入 $x < 1$ 区域, 并在一个正时间在图中标记为 P 的点处撞击 $\pi+$ 。然后, 解沿着 $x > 1$ 区域的 x -零斜线传递, 如图所示。2(b) 并在图中标记为 (τ_1, y_1) 的点处再次撞击 $\pi-$ 。2(a), 接近 Σ_1 。由于慢-快动力学, y_1 接近于 0; 当 $x > 1$ 时, $g(x)$ 的梯度很陡, 因为 ε 很小。因此图 12 和 13 mmo 发射区域之间的单参数分叉图的全局视图显示在图中。3(a). 分叉参数 B_1 设为 0.0105。大 k 的 $\theta_k = \omega \tau k / 2\pi \text{ mod } 1$ 如图 1 所示, 图 3(a) 是使用连续 DEFORM 创建的变形方法使用以下步骤。设 T 是平面 π - 上的 Poincaré 返回映射。设 M 和 N 是 s_u 大整数

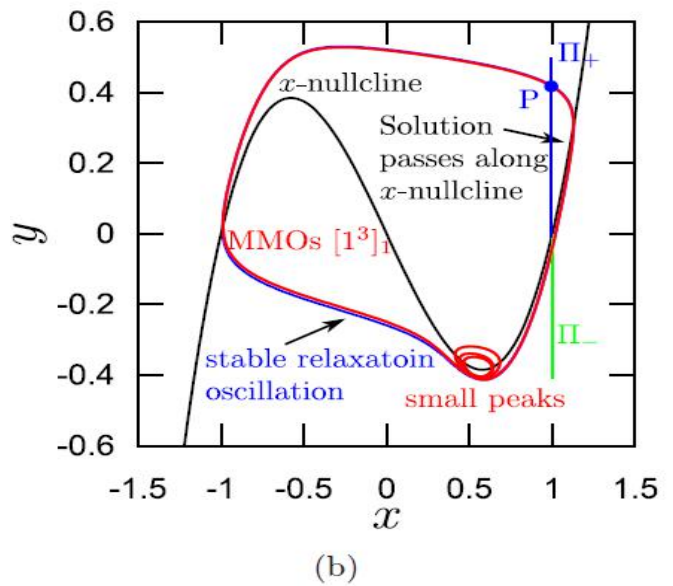
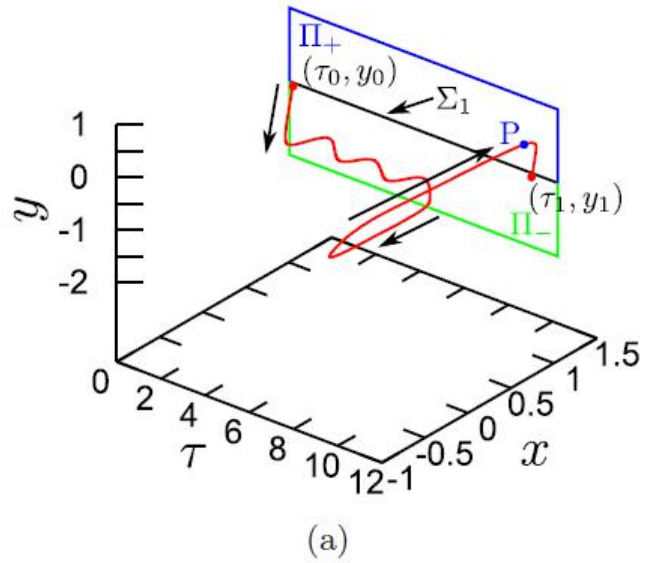
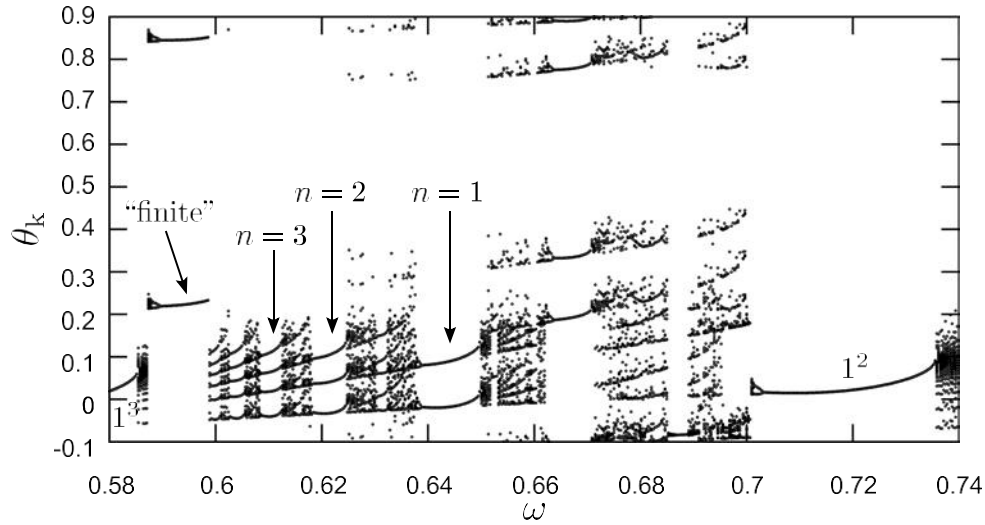
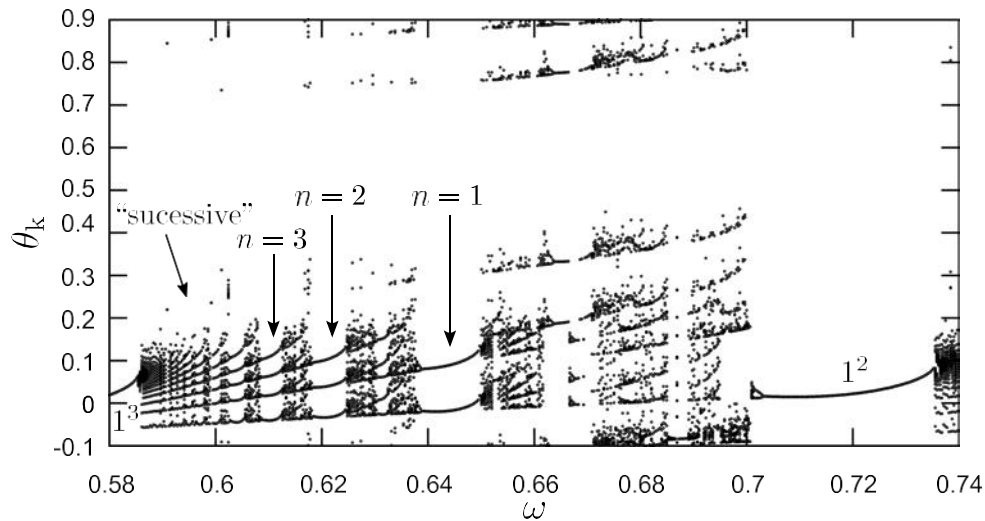


图2. (a)向量的几何结构; (b)x-零斜、弛豫振荡、 $\pi-$ 、 $\pi+$ 和 $[1^3]_1$ 解在 $(x-y)$ 态空间上的投影。黑色: X-零斜; 蓝色: 稳定弛豫振荡; 红色: $[1^3]_1$ MMO 轨迹; 浅绿色: $\pi-$; 蓝色: $\pi+$ 。

嵌套混合模振荡的分岔结构



(a)



(a)

图3. $B_1=0.0105$ 的单参数分岔图，其中MMOIB生成的 $[12,13 \times n]n+1$ 个MMO，用连续变形法和(b)规定的初始条件 $(\tau_0, x_0, y_0) = (0.1(2\pi/\omega), 1, 0)$ 。在(a)中只能观察到少量的MMOIBs，而在(b)中出现连续的MMOIBs。

当存在 $\omega = \omega$ 时， $T_1(\tau_0, y_0) - T M(\tau_0, y_0)$ 和 $T_{m+1}(\tau_0, y_0) - T_{m+n}(\tau_0, y_0)$ 分别为暂态和定态。在下一个步骤中， $\omega = \omega_{next} = \omega_{present} + \Delta\omega$ ，其中 $\Delta\omega$ 是su的最小值，用 $t_{m+n}(\tau_0, y_0)$ 作为T的INI-tial条件。用这种方法，大多数系统将得到平滑的单参数分叉图，但在图13到12序列的转换中可以看到明显的不连续性。3(a)，在 $0.58 < \omega < 0.6$ 区域。这表明该分岔图中的一些MMOIBs被连续形变所混淆方法。图3(a)中MMOs之间的转换。

似乎包括混沌行为的区域，并且从这些混沌区域到周界解的转变不能保证是MMOIBs。当不采用连续形变方法时，我们将 ini-tial 条件设为 $(\tau_0, x_0, y_0) = (0.1(2\pi/\omega), 1, 0)$ 时，就会出现缺失的MMOIBs，如图所示。3(b)。我们将讨论REA-在下一节中选择这些初始条件。出现在分叉图的12-和13-产生区域之间的一些MMOs和MMOIB产生的MMOs的一维时间序列波形如图4所示。

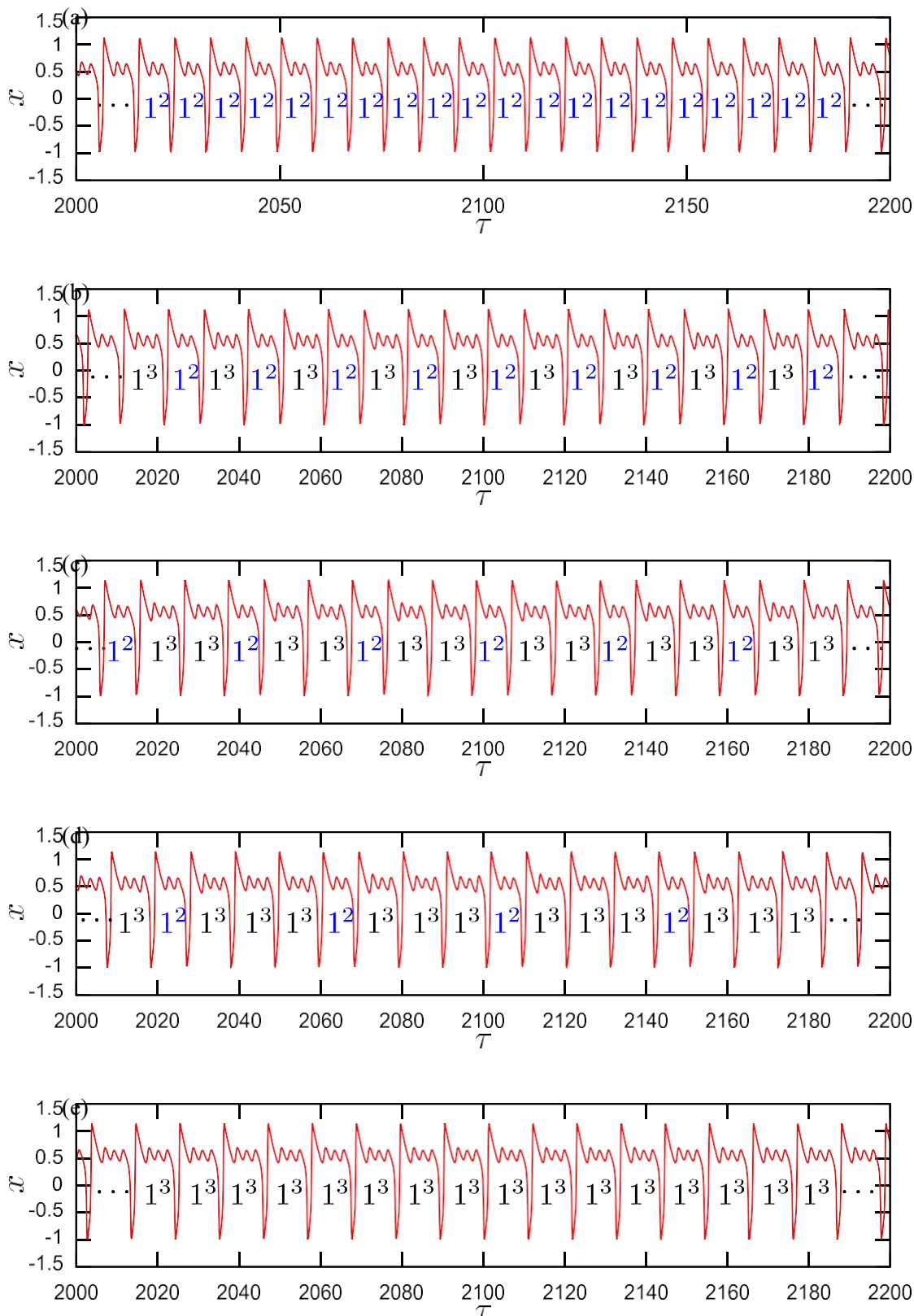


图4. 简单MMOs和MMOIB生成的MMOs在它们之间的分叉图中。(a)[12]1表示 $\omega=0.72$, (b)[12,13 \times 1]2表示 $\omega=0.64$, (c)[12,13 \times 2]3表示 $\omega=0.62$, (d)[12,13 \times 3]4表示 $\omega=0.61$, (e)[13]1表示 $\omega=0.58$ 。初始条件为 $(\tau_0, x_0, y_0) = (0.1(2\pi/\omega), 1, 0)$ 。触发器序列1标记为蓝色。

3. 嵌套MMOs

当我们放大图3(b)在两个由MMOIB生成的 $[12,131]_2$ 和 $[1^2,1^3*2]_3$ MMO之间，我们观察了由MMOIB生成的连续嵌套MMO序列: $[[1^2,1^3*1]_2, [12,132]_3 * n]_{3n+2}, n=1,2,3$ 。A放大分叉的这个区域图中的图表。3(b)在图中给出。5.我们将绿线描绘的周期结构称为嵌套MMOs[Inaba&Kousaka, 2020a; Inaba&Tsubone, 2020b]。在我们的数值结果中，嵌套的MMOIB产生的MMOs出现在所有产生MMOs的模拟中。无花果的下面板。5是 $(\omega-B_1)$ -平面上 $B_1=0.0105$ 附近的一个双参数分岔图。在这张双参数双阳图中， I_j 表示鞍结点和倍周期分岔曲线。

上标表示每个MMO序列中强迫项的周期数。这些分岔曲线是用Kawakami[1984]提出的射击算法绘制的，在附录A中作了简要说明。鞍结点和倍周期分岔表示嵌套MMOIB生成的MMOs的出现和消失。从这张双参数分岔图可以看出，嵌套MMOs是存在的，并且随着参数 B_1 的变化而保持稳定。我们判断嵌套的MMOs是稳定的，因为没有COM-在双参数分岔图中观察到从分岔。嵌套MMOIB生成的 $2,131]_2, [12,132]_3 n]_{3n+2}$ 的时间序列波形给出了 $n=1,2,3,4,5$ 和6的振荡器，在无花果里。分别为6(a)至6(f)。注意，在 $m=n=1$ 的情况下，观察到了嵌套MMO吸引子。

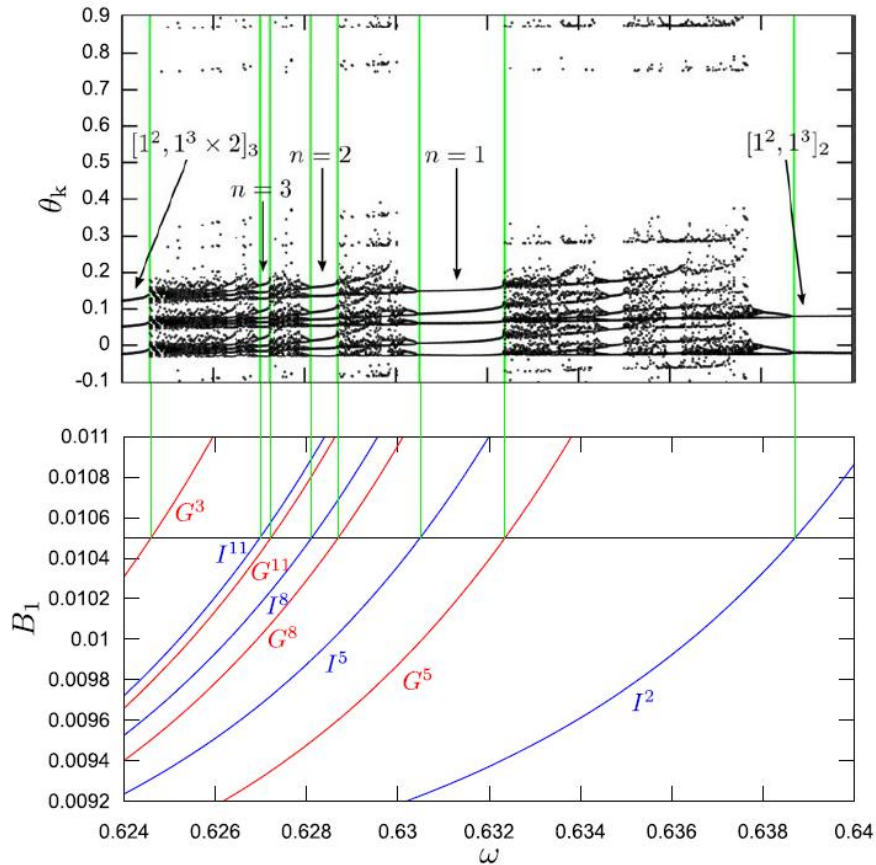


图5. MMOIB生成的 $[[12,13\times 1]_2, [12,13\times 2]_3 * n]_{3n+2}$ 个MMO出现的单参数（上图）和双参数（下图）分岔图。TT $3n+2$ 和I $3n+2$ 分别表示 $3n+2$ 周期点集的鞍结点分岔和倍周期分岔。

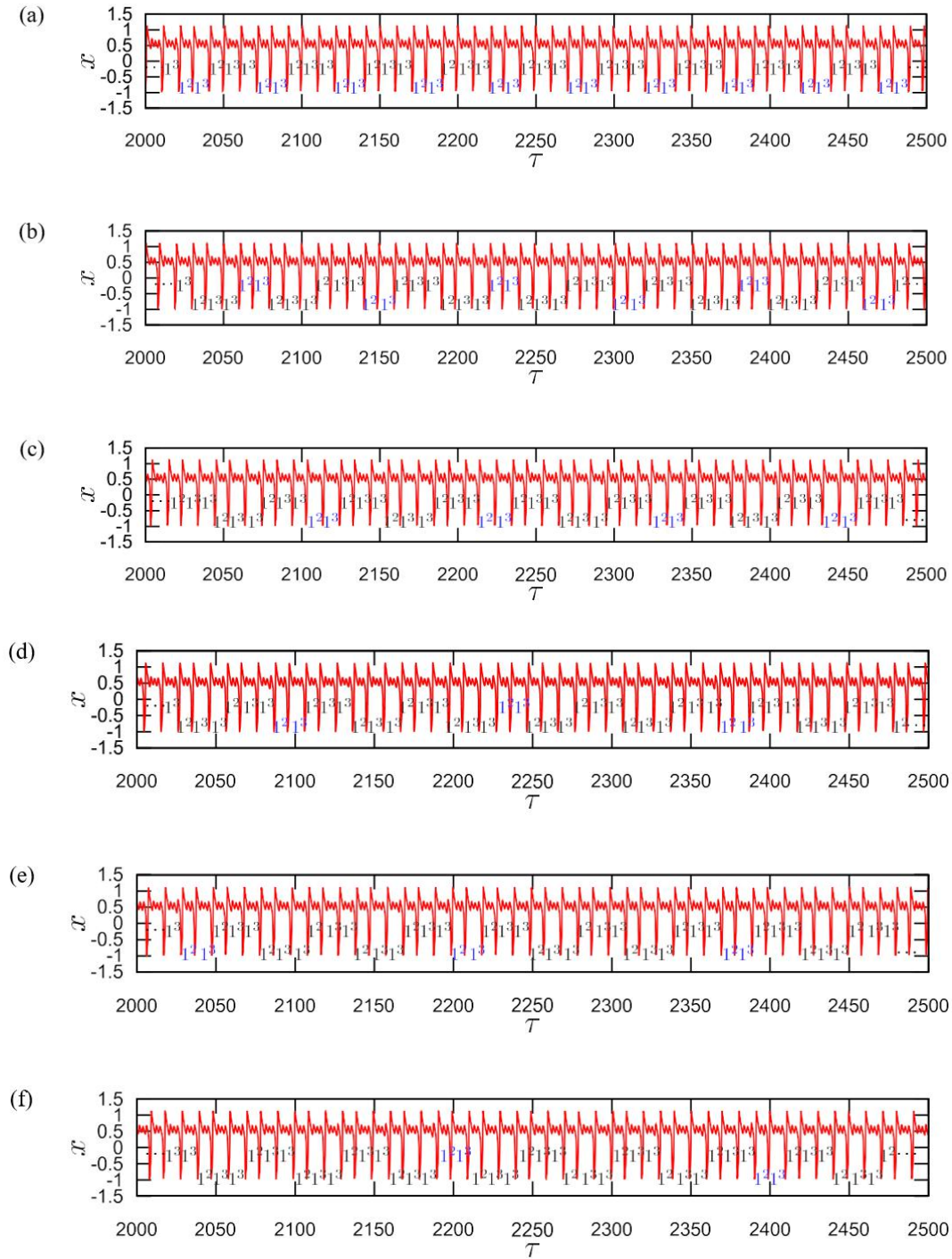


图6. 嵌套式MMOIB产生的 $[[12,13 \times 1]2, [12,13 \times 2]3 \times n]3n+2$ 个MMOs的时间序列波显示 (a) $n=1, \omega=0.631$, (b) $n=2, \omega=0.6284$, (c) $n=3, \omega=0.6264$, (d) $n=4$, (e) $n=5, \omega=0.62593$, (f) $n=6, \omega=0.62565$ 。使用固定的初始条件: $(\tau_0, x_0, y_0) = (0.1(2\pi/\omega), 1, 0)$ 。在这些代码中, 序列(a)-(f)中蓝色标记为1213的序列触发MMOIB生成的MMOs $[[12,13 \times 1]2, [12,13 \times 2]3 \times n]3n+2$, 对于 $n=1, 2, 3, 4, 5$ 和6。

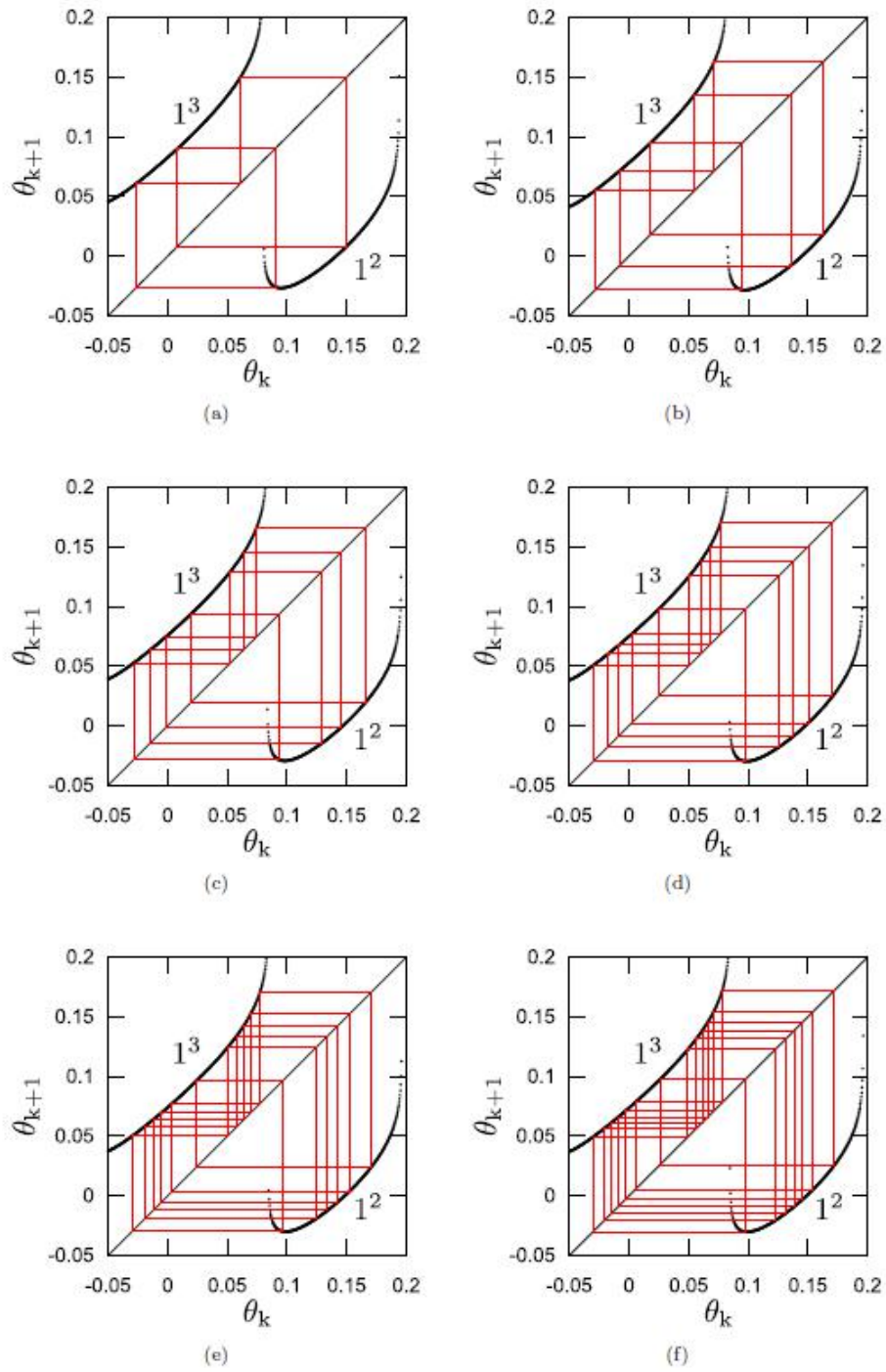


图 7. 嵌套 MMOIB 生成的 MMO 的返回图，显示为 $[[1^2, 1^3]_2, [1^2, 1^3 \times 2]_{3 \times n}]_{3n+2}$ ，
 (a) $n=1, \omega=0.631$, (b) $n=2, \omega=0.6284$, (c) $n=3, \omega=0.6264$, (d) $n=4$, (e) $n=5, \omega=0.62593$, (f) $n=6, \omega=0.62565$ 。

实验测量[Inaba&Tsubone, 2020b]。图中用1213表示的蓝色符号。6(a)-6(f)将嵌套[[12,131]2,[12,132]3n]3n+2振荡器的触发序列标记为n=1,2,3,4,5和6。顺序嵌套MMOs遵循一个令人惊讶的明确顺序。然而,即使我们事先不知道生成它们的模式,也很难捕捉MMOIBs之间嵌套的MMOs序列。很可能嵌套的MMO时间序列波形在过去30年的结果中一直隐藏在复杂性背后。如图所示。6、这些现象只能从时间序列波形来识别。请注意,这些是SIM-PLEST嵌套的MMO时间序列波形,它们看起来非常复杂,尽管在序列的进展之后是有序的。正如前一节所讨论的,在图(τ_0, y_0)和(τ_1, y_1)中, y_1 取接近于0的值,因为动力学是慢-快的,并且当 $x > 1$ 时 $g(x)$ 非常陡。因此,所有MMO解都沿着x-零斜线传递。这一结果表明, [Inaba&Tsubone, 2020b]返回图将对区分嵌套MMO有价值。让我们考虑一个留下(τ_0, x_0, y_0)=($\tau_0, 1, 0$)的布诺。该解决方案靠近MMO路径,并且返回到($\tau_1, 1, y_1$)。注意 y_1 0如上所述。因此,从 $\theta_0 = \omega\tau_0/2\pi$ 到 $\theta_1 = \omega\tau_1/2\pi \text{ mod } 1$ 的跃迁可以用一维映射近似。我们称这些情节为figurst返回地图。对应于[[12,13]2,[12,13]3n]3n+2的嵌套MMOIB生成的MMO轨迹和对应于n=1,2,3,4,5和6的返回映射如图4所示。分别为7(a)至7(f)。返回图轨迹的周期与每个MMO序列的强迫项的周期数一致,即 t_i 的i或者 I_j 的j。figurst返回映射阐明了嵌套MMO的排序规则。让我们回想一下,我们使用固定的初始条件(τ_0, x_0, y_0)=($0.1(2\pi/\omega), 1, 0$)来创建单参数的bifur-阳离子图。之所以选择 $0.1(2\pi/\omega)$ 作为初始时间,是因为返回映射经过一个接近0.1的局部最小值。因此,当我们使用规定的初始条件(τ_0, x_0, y_0)=($0.1(2\pi/\omega), 1, 0$)时,模拟可以跟踪简单(未嵌套)和嵌套MMOIB生成的MMOS。我们以前介绍了回归图本身的轨迹[Inaba&Tsubone, 2020b]。本研究介绍不使用约束动力学编制的近似返回图[Kousaka et al., 2017; Inaba&Kousaka, 2020a; Inaba&Tsubone, 2020b]。嵌套的MMOIB生成的[[12,13]2,[12,132]3n]3n+2MMOs增量 and 当n趋于MMO时的变化增量终止切分点[Kousaka et al., 2017; Inaba&Kousaka, 2020a], 在此点出现[12,132]3振荡。由于序列的个数有[12,132]3三个强迫项,三阶返回映射在三个点处变得相切。因为这个返回图是近似的,所以切线双阳点也是近似的,并且MMOIB生成的MMO终止于 $\omega = 0.6245911$ 。在这一点上应用三次后的返回图如图所示。8.在以前的工作中,我们只讨论了嵌套的[[12,13m]m+1],[12,13(m+1)]m+2n](m+2)n+(m+1),m=的MMOs[Inaba&Tsubone, 2020b]。在本研究中,我们利用firefirst返回映射,在m=1,2,3的情况下,证明了嵌套的MMOIB生成的MMO的存在性。与图中所描述的非常相似。5、一个双参数分岔图和相应的单参数分岔图,其中嵌套的MMOIB生成的[[12,132]3,[12,133]4n]4n+3 MMOs可以是连续n个观察值如图所示。9.时间序列波形[[12,132]3,[12,133]4n]4n+3对于n=1,2,3,4,5和6分别在图10(a)-10(f)中示出m=2的情况。类似地,在图121313(=[12,132]3)中,蓝色符号表示为121313(=[12,132]3)。10(a)-10(f)是触发[[12,132]3,[12,133]4n]4n+3嵌套的MMOIB生成的MMOs变得更加复杂,如图4所示。10(a)-10(f)。与图1所示的返回图和返回图轨迹相对应。10(a)-10(f)示于图4。分别为11(a)至11(f)。figurst返回图及其绘图轨迹使我们能够很好地解释嵌套MMOs。类似于MMOIB生成的[[12,132]3,[12,133]4n]4n+3 MMO序列向切分叉点递增,其中[12,133]4作为n的结果出现。由于序列[12,133]4有四个强迫项,所以应用了一个近似的返回映射四次将与对角线相切。

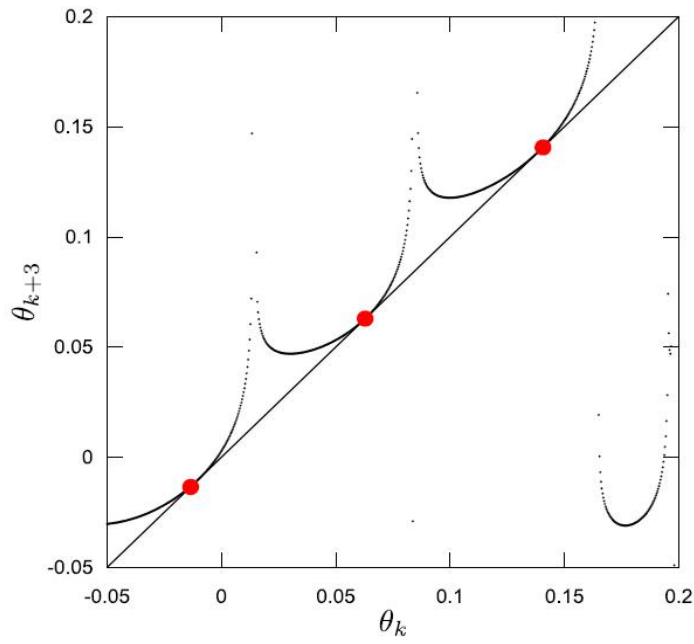


图 8 在 MMO 增量终止切线分叉点处应用了三次 *figurst* 返回图的形状
 $\omega=0.6245911$

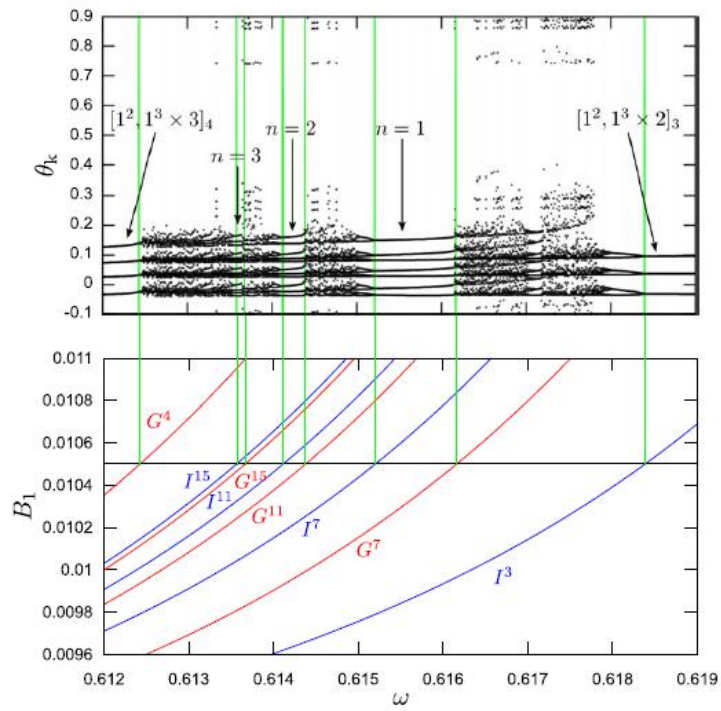


图 9 MMOIB 生成的 $[[12,13 \times 2]_3, [12,13 \times 3]_4 \times n]_{4n+3}$ 个 MMO 出现的单参数(上图)和双参数(下图)分岔图。TT $4n+3$ 和 I $4n+3$ 分别表示 $4n+3$ 周期点的鞍结点分岔曲线和倍周期分岔曲线。

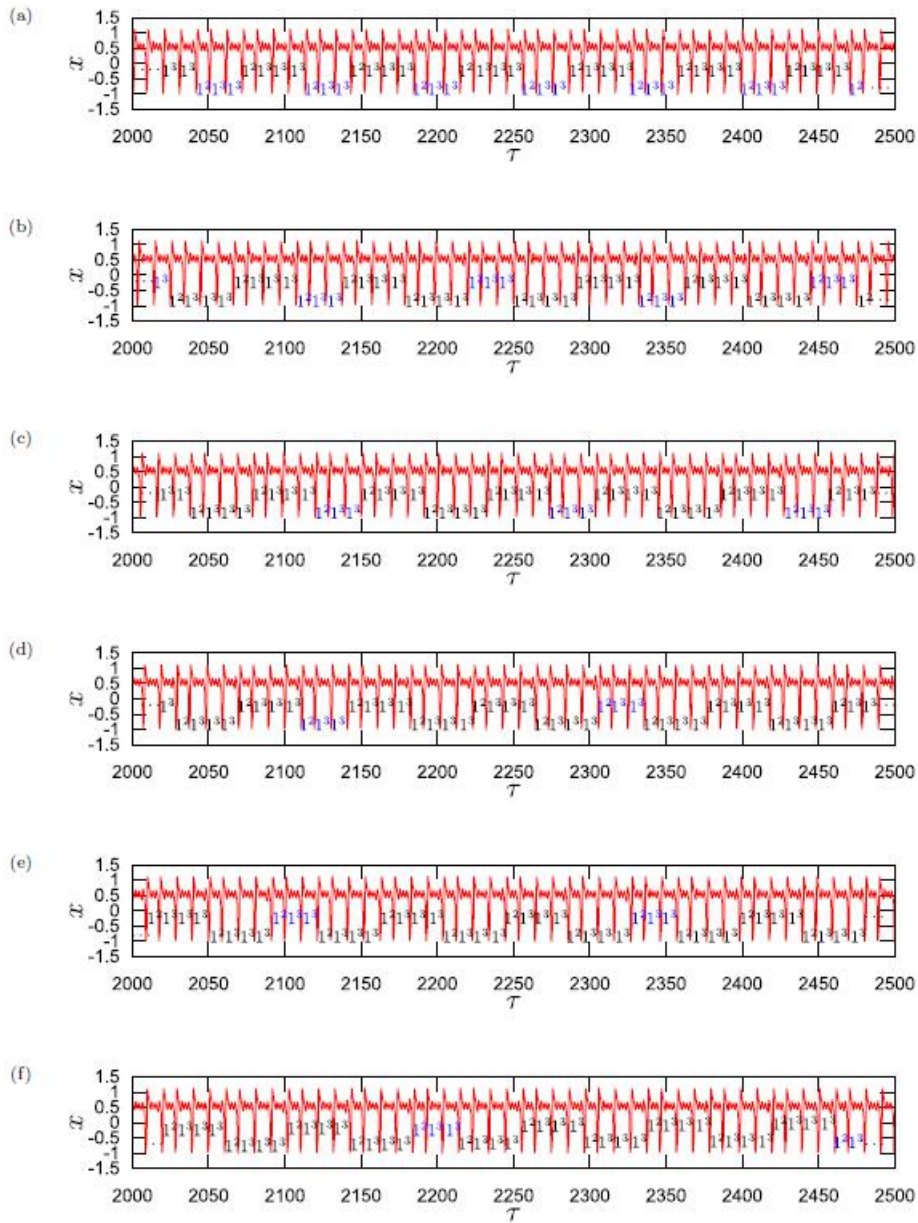


图 10 嵌套 MMOIB 产生的 $[[12,13 \times 2]3, [12,13 \times 3]4 \times n]4n+3$ MMOs 的时间序列波形, 示出 (a) $n=1, \omega=0.6155$, (b) $n=2, \omega=0.6143$, (c) $n=3, \omega=0.6136$, (d) $n=4, \omega=0.61326$, (e) $n=5, \omega=0.61305$ 和 (f) 当 $\omega=0.61291$ 时, $n=6$ 。使用固定的初始条件: $(\tau_0, x_0, y_0) = (0.1(2\pi/\omega), 1, 0)$ 。在这些代码中, 序列 (a)-(f) 中蓝色标记为 121313 的序列触发 MMOIB 生成的 MMOs $[[12,13 \times 2]3, [12,13 \times 3]4 \times n]4n+3$ 对于 $n=1, 2, 3, 4, 5, 6$ 。

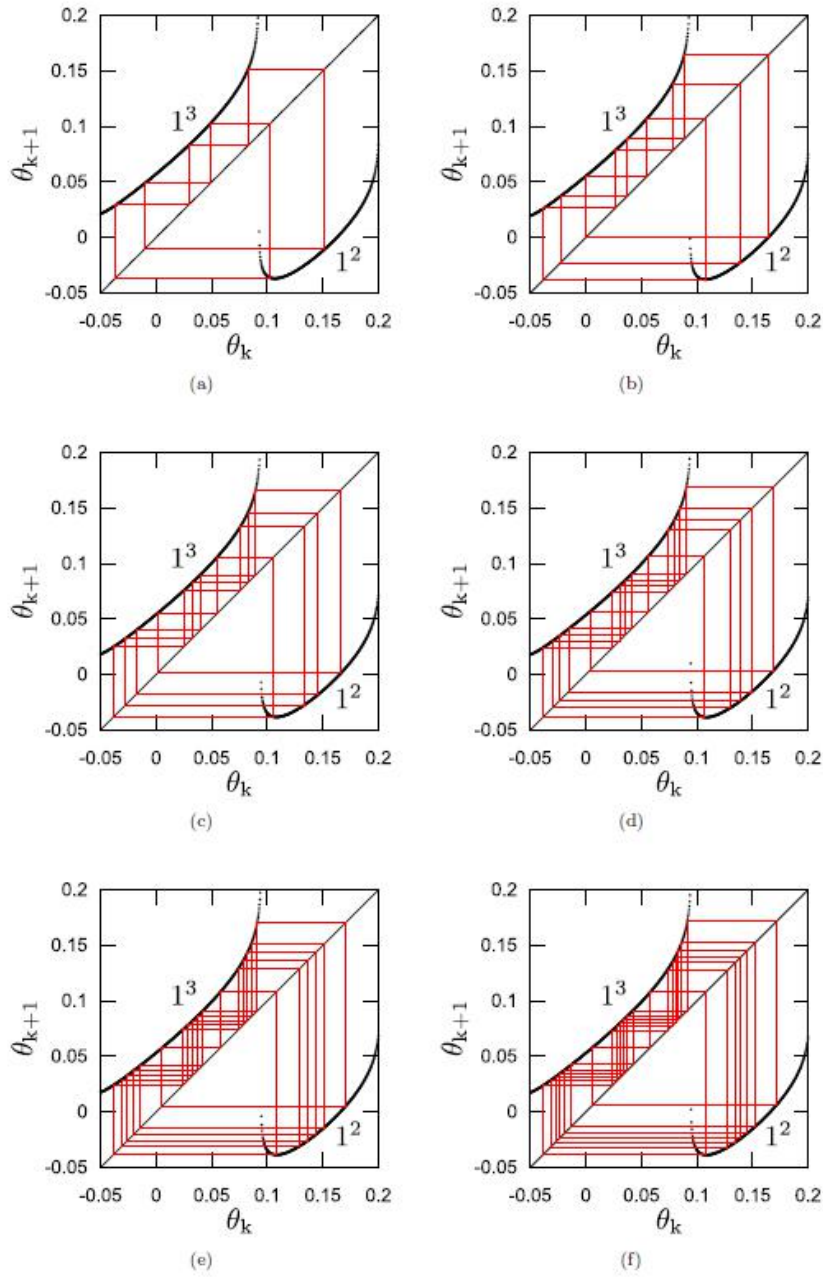


图 11.嵌套的 MMOIB 生成的 MMO 的返回图, 显示[[12,13×2]3,[12,13×3]4×n]4n+3(a)n=1 对于 $\omega=0.6155$, (b)n=2 对于 $\omega=0.6143$, (c)n=3 对于 $\omega=0.6136$, (d)n=4 对于 $\omega=0.61326$, (e)n=5 对于 $\omega=0.61305$ 和 (f)n=6 对于 $\omega=0.61291$ 。

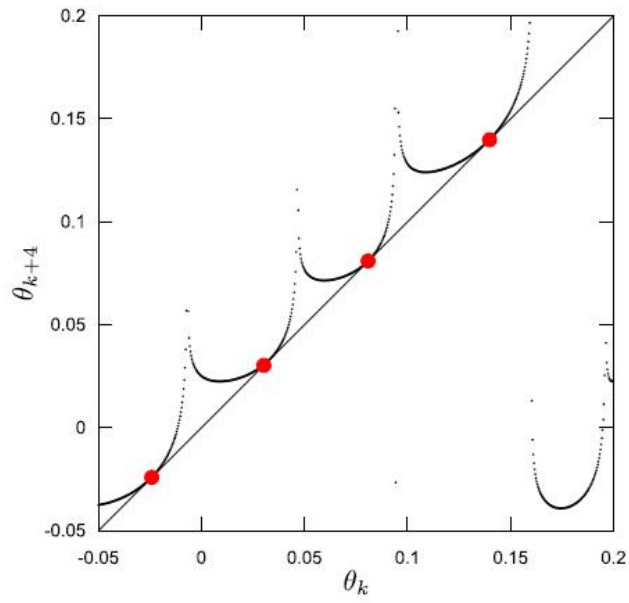


图 12.对 $\omega=0.6124231$ 应用了四次返回图的形状

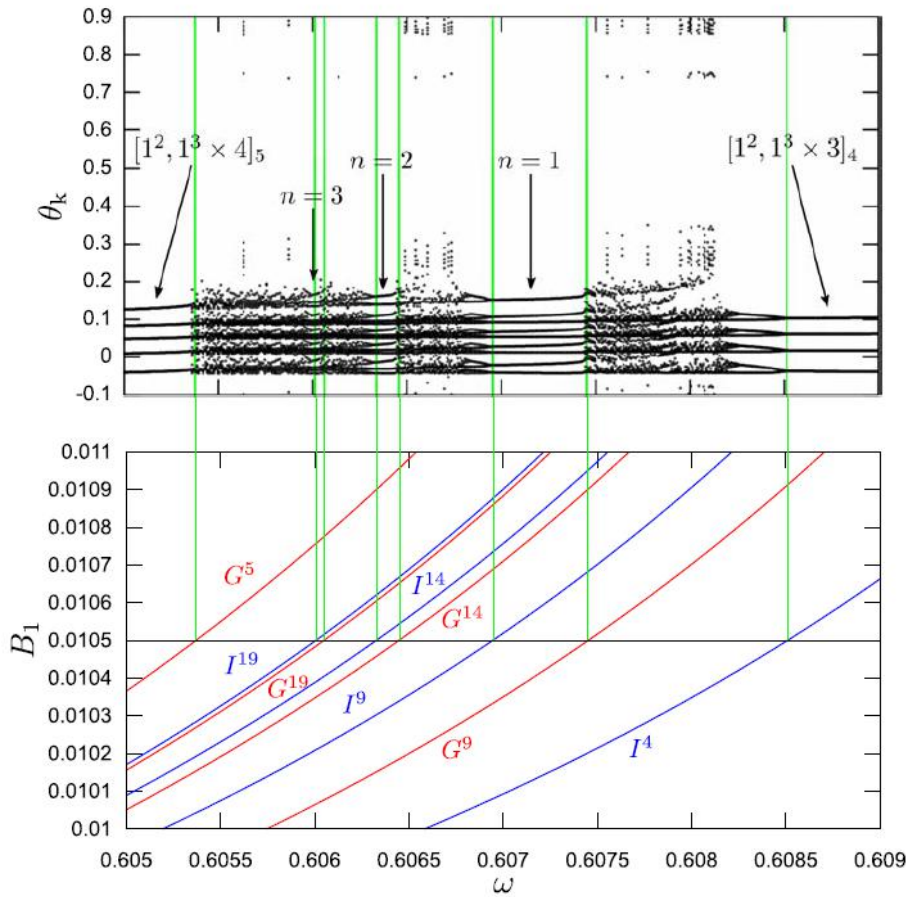


图 13 MMOIB 生成的 $[[12,13 \times 3]_4, [12,13 \times 4]_5 \times n]_{5n+4}$ 个 MMO 出现的单参数 (上图) 和双参数 (下图) 分岔图。TT $5n+4$ 和 I $5n+4$ 分别表示 $5n+4$ 周期点的鞍结点分岔曲线和倍周期分岔曲线。

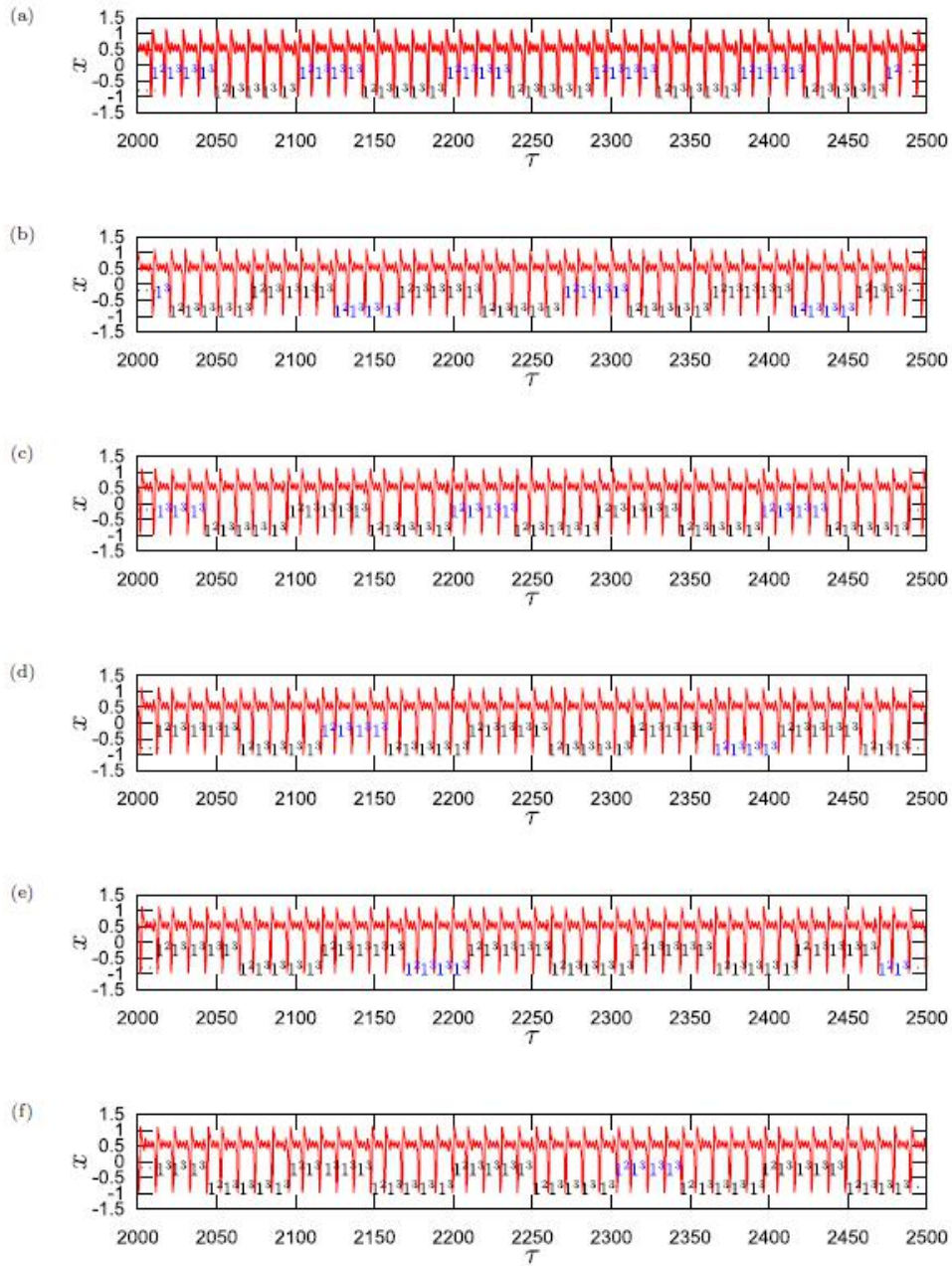


图14. 嵌套MMOIB产生的 $[[12,13 \times 3]4, [12,13 \times 4]5 \times n]5n+4$ 个MMOs的时间序列波形，显示(a) $n=1, \omega=0.607$, (b) $n=2, \omega=0.6064$, (c) $n=3, \omega=0.60601$, (d) $n=4, \omega=0.60582$, (e) $n=5, \omega=0.6057$ ，当 $\omega=0.605625$ 时(f) $n=6$ 。采用固定初始条件 $(\tau_0, x_0, y_0) = (0.1(2\pi/\omega), 1, 0)$ 。在本文中，序列(a)-(f)中蓝色标记为12131313的序列触发MMOIB生成的MMOs $[[12,13 \times 3]2, [12,13 \times 4]5 \times n]5n+4$ $n=1, 2, 3, 4, 5$ 和6。

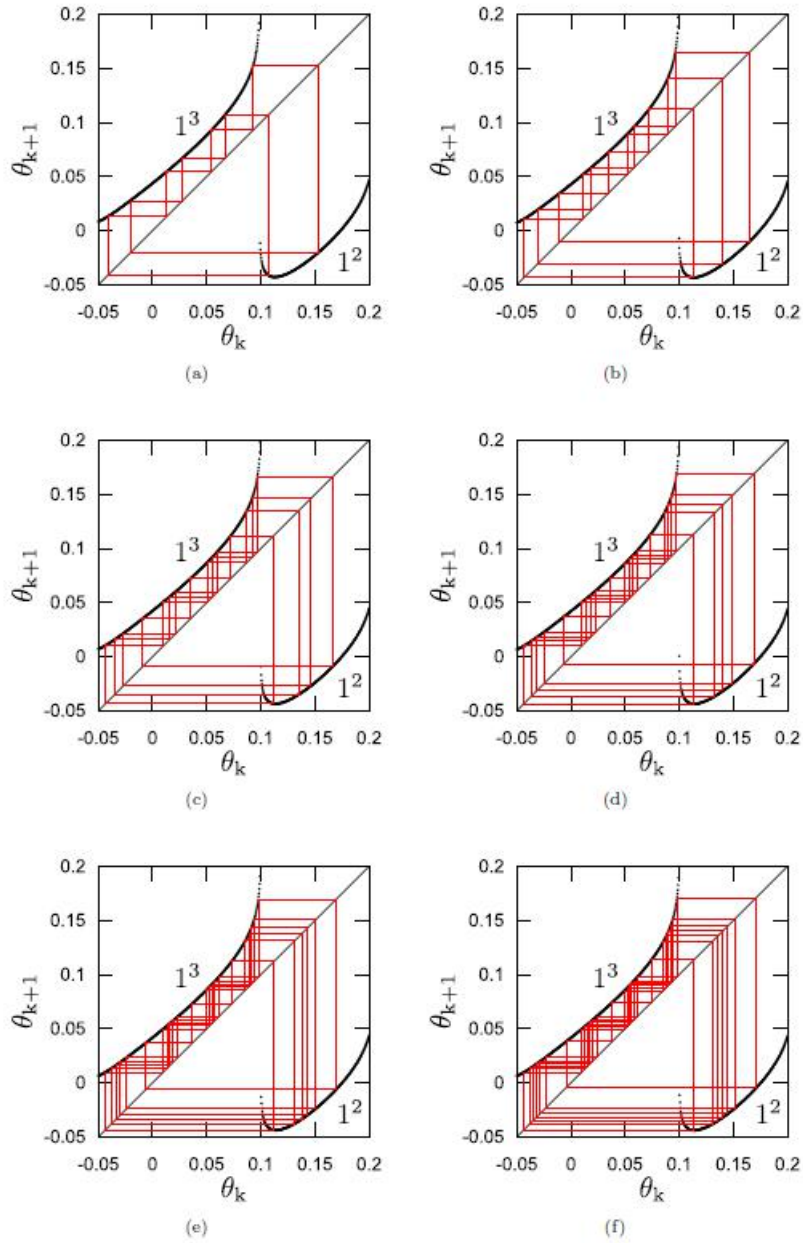


图15.嵌套的MMOIB生成的MMO的返回图，显示[[12,13×3]4,[12,13×4]5×1]5n+4(a)n=1对于 $\omega=0.607$,(b)n=2 对于 $\omega=0.6064$,(c)n=3 对于 $\omega=0.60601$,(d)n=4 对于 $\omega=0.60582$,(e)n=5 对于 $\omega=0.6057$ 和(f)n=6对于 $\omega=0.605625$ 。

n 趋向于确定性。在四次迭代之后，MMO增量终止的点计算为 $\omega=0.6124231$ 。四次应用的对应返回图在图中给出。12.在[12, 133]4和[12, 134]5 MMO生成区域中，嵌套的MMOIB生成的[[12, 133]4,[12, 134]5n]5n+4 MMO出现的双参数和单参数分叉图。对于连续的 n 在图中示出。13. 对应于 [[12,133]4,[12,13] 的时间序列波形 4]5n]5n+4,n=1,2,3,4,5和6,respec-如图1所示。14(a)至14(f)。类似于图中蓝色符号 12131313表示。14(a)-14(f)是n=1的[[12,133]4,[12,134]5n]5n+4的触发序列,分别为2、3、4、5和6。最后,corre-海绵返回图及其轨迹如图1所示。15(a)至15(f)。即使应用了这些返回映射,也要区分[[12,133]4,[12,134]5 n]5n+4和n=n=6是di回归情节已经34岁了。然而,如果我们应用[12,134]5作为[[12,13]的结果出现的条件,则可以很容易地导出MMO增量终止切分点3]4,[12,134]5n]5n+4表示n。在这种情况下,所应用的返回图的时间将

变为棕褐色-gent到分叉点的对角线。

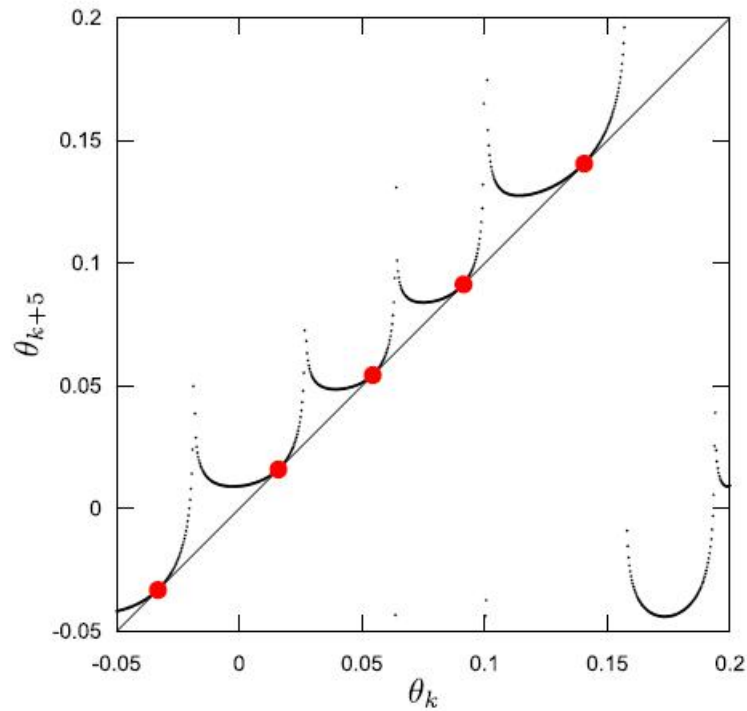


图16.对 $\omega=0.605369$ 应用了四次的foungrst返回图的形状

在这些条件下，MMO增量终止切分点可以近似地导出为 $\omega=0.605369$ （见图16）。因此，我们的数值结果表明，嵌套MMOs是一种普遍现象，因为它们具有很强的有序性，并且可以在 m 值不断增大的情况下观察到，而 m 值是简单（非嵌套）MMOIBS的连续 n 值之一。

4.结论

本文研究了一类受迫BVP振子产生的嵌套MMOs,其中非线性项表示为三阶多项式函数。用数值方法对该系统整体单参数分岔图的三个大视图进行了预处理。这三张图都与全局视图相似，表明混沌窗口中可能存在自相似结构。由于双参数分岔图的分岔结构保持不变，因此判断嵌套MMOIB生成的MMOs是稳定的。此外，我们修改了近似的返回映射，并使用这些映射来证明嵌套的MMOIB生成的MMO可以通过我们所提出的规则得到很好的解释。我们还使用这些返回映射来识别分岔参数的阈值，在该阈值处MMO增量被切分岔终止。

参考文献

- Albahadily, F. N., Ringland, J. & Schell, M. [1989] "Mixed-mode oscillations in an electrochemical system. I. A Farey sequence which does not occur on a torus," *J. Chem. Phys.* 90, 813–821.
- Arnol'd, V. I. (ed.) [1994] *Encyclopedia of Mathematical Sciences*, Vol. 5 (Springer-Verlag).
- Baer, S. M. & Erneux, T. [1986] "Singular Hopf bifurcation to relaxation oscillations," *SIAM J. Appl. Math.* 46, 721–739.
- Baer, S. M. & Erneux, T. [1992] "Singular Hopf bifurcation to relaxation oscillations. II," *SIAM J. Appl. Math.* 52, 1651–1664.
- Benoit, E., Callot, J. F., Diener, F. & Diener, M. [1981] "Chasse au canard," *Collect. Math.* 31–32, 37–119.
- Braaksma, B. & Grasman, J. [1993] "Critical dynamics of the Bonhoeffer–Van der Pol equation and its chaotic response to periodic stimulation," *Physica D* 68, 265–280.
- Brons, M., Gross, P. & Bar-Eli, K. [1997] "Circle maps and the devil's staircase in a periodically perturbed Oregonator," *Int. J. Bifurcation and Chaos* 11, 2621–2628.
- Brons, M., Krupa, M. & Wechselberger, M. [2006] "Mixed mode oscillations due to the generalized canard phenomenon," *Fields Inst. Commun.* 49, 39–63.
- Brons, M., Kaper, T. J. & Rotstein, H. G. [2008] "Introduction to focus issue: Mixed mode oscillations: Experiment, computation, and analysis," *Chaos* 18, 015101-1–4.
- De Maesschalck, P., Kutafina, E. & Popović, N. [2014] "Three time-scales in an extended Bonhoeffer–van der Pol oscillator," *J. Dyn. Diff. Eqs.* 26, 955–987.
- Desroches, M., Guckenheimer, J., Krauskopf, B., Kuehn, C., Osinga, H. M. & Wechselberger, M. [2012] "Mixed mode oscillations with multiple time scales," *SIAM Rev.* 54, 211–288.
- Desroches, M., Kaper, T. J. & Krupa, M. [2013] "Mixed mode bursting oscillations: Dynamics created by a slow passage through spike-adding canard explosion in a square-wave burster," *Chaos* 23, 046106.
- Diener, M. [1984] "The canard unchained or how fast/slow dynamical problems bifurcate," *Math. Intell.* 6, 38–49.
- FitzHugh, R. [1961] "Impulses and physiological states in theoretical models of nerve membrane," *Biophys. J.* 1, 445–466.
- Freire, J. G. & Gallas, J. A. C. [2011a] "Stern-Brocot trees in cascades of mixed-mode oscillations and canards in the extended Bonhoeffer–van der Pol and the FitzHugh–Nagumo models of excitable systems," *Phys. Lett. A* 375, 1097–1103.
- Freire, J. G. & Gallas, J. A. C. [2011b] "Stern-Brocot trees in the periodicity of mixed-mode oscillations," *Phys. Chem. Chem. Phys.* 13, 12101–12336.
- Guckenheimer, J., Hoffman, K. & Weckesser, W. [2000] "Numerical computation of canards," *Int. J. Bifurcation and Chaos* 10, 2669–2687.
- Guckenheimer, J. & Scheper, C. [2011] "A geometric model for mixed-mode oscillations in a chemical system," *SIAM J. Appl. Dyn. Syst.* 10, 92–128.
- Hudson, J. L., Hart, M. & Marinko, D. [1979] "An experimental study of multiple peak periodic and nonperiodic oscillations in the Belousov–Zhabotinski reaction," *J. Chem. Phys.* 71, 1601–1606.
- Inaba, N. & Kousaka, T. [2020a] "Nested mixed-mode oscillations," *Physica D* 401, 132152-1–18.
- Inaba, N. & Tadashi, T. [2020b] "Nested mixed-mode oscillations, part II: Experimental and

numerical study of a classical Bonhoeffer–van der Pol oscillator," *Physica D* 406, 132493–1–29.

Itoh, M. & Tomiyasu, R. [1990] "Experimental study of the missing solutions "canards", " *IEICE Trans. E73*, 848–854.

Kawakami, H. [1984] "Bifurcation of periodic responses in forced dynamic nonlinear circuits: Computation of bifurcation values of the system parameters," *IEEE Trans. Circuits Syst.* 31, 248–260.

Kawczyński, A. L. & Strizhak, P. E. [2000] "Period adding and broken Farey tree sequences of bifurcations for mixed-mode oscillations and chaos in the simplest three-variable nonlinear system," *J. Chem. Phys.* 112, 6122–6130.

Kawczyński, A. L., Khavrus, V. O. & Strizhak, P. E. [2000] "Complex mixed-mode periodic and chaotic oscillations in a simple three-variable model of nonlinear system," *Chaos* 10, 299–310.

Kousaka, T., Ogura, Y., Shimizu, K., Asahara, H. & Inaba, N. [2017] "Analysis of mixed-mode oscillation-incrementing bifurcations generated in an autonomous constrained Bonhoeffer–van der Pol oscillator," *Physica D* 353–354, 48–57.

Krupa, M., Popović, N. & Kopel, N. [2008] "Mixed mode oscillations in three time-scale systems: A prototypical example," *SIAM J. Appl. Dyn. Syst.* 7, 361–420.

Kuehn, C. [2015] *Multiple Time Scale Dynamics* (Springer International Publishing).

Kutafina, E. [2015] "Mixed mode oscillations in the Bonhoeffer–van der Pol oscillator with weak periodic perturbation," *Comput. Appl. Math.* 34, 81–92.

Markman, G. & Bar-Eli, K. [1994] "Periodic perturbations of an oscillatory chemical system," *J. Chem. Phys.* 98, 12248–12254.

Maselko, J. & Swinney, H. L. [1986] "Complex periodic oscillations and Farey arithmetic in the Belousov–Zhabotinskii reaction," *J. Chem. Phys.* 85, 6430–6441.

Matsumoto, T., Chua, L. O. & Komuro, M. [1985] "The double scroll," *IEEE Trans. Circuits Syst.* 32, 798–818.

Muratov, C. B. & Vanden-Eijnden, E. [2008] "Noise induced mixed-mode oscillations in a relaxation oscillator near the onset of a limit cycle," *Chaos* 18, 015111.

Nagumo, J., Animoto, S. & Yoshizawa, S. [1962] "An active pulse transmission line simulating nerve axon," *Proc. Inst. Radio Engin.* 50, 2061–2070.

Orban, M. & Epstein, I. R. [1982] "Complex periodic and aperiodic oscillation in the Chlorite–Thiosulfate reaction," *J. Phys. Chem.* 86, 3907–3910.

Petrov, V., Scott, S. K. & Showalter, K. [1992] "Mixed mode oscillations in chemical systems," *J. Chem. Phys.* 97, 6191–6198.

Rachwalska, M. & Kawczyński, A. L. [2001] "Period adding bifurcations in mixed-mode oscillations in the Belousov–Zhabotinsky reactions at various residence times in a CSTR," *J. Phys. Chem.* 105, 7885–7888.

Ryashko, L. [2018] "Sensitivity analysis of the noise induced oscillatory multistability in Higgins model of glycolysis," *Chaos* 28, 033602.

Scott, S. K. [1993] *Chemical Chaos* (Oxford University Press).

Sekikawa, M., Inaba, N., Yoshinaga, T. & Hikiyama, T. [2010] "Period-doubling cascades of canards from the extended Bonhoeffer–van der Pol oscillator," *Phys. Lett. A* 374, 3745–3751.

Shimizu, K., Sekikawa, M. & Inaba, N. [2011] "Mixed mode oscillations and chaos from a simple second order oscillator under weak periodic perturbation," *Phys. Lett. A* 375, 1566–1569.

Shimizu, K., Saito, Y., Sekikawa, M. & Inaba, N. [2012] "Complex mixed-mode oscillations in a

Bonhoeffer–van der Pol oscillator under weak periodic perturbation,” *Physica D* 241, 1518–1526.

Shimizu, K., Sekikawa, M. & Inaba, N. [2015] “Experimental study of complex mixed-mode oscillations generated in a Bonhoeffer–van der Pol oscillator under weak periodic perturbation,” *Chaos* 25, 023105-1–8.

Shimizu, K. & Inaba, N. [2016a] “Piecewise-linear Bonhoeffer–van der Pol dynamics explaining mixed mode oscillation-incrementing bifurcations,” *Prog. Theor. Exp. Phys.* 2016, 033A01-1–15.

Shimizu, K. & Inaba, N. [2016b] “Experimental and numerical observation of successive mixed-mode oscillation-incrementing bifurcations in an extended Bonhoeffer – van der Pol oscillator,” *Int. J. Bifurcation and Chaos* 28, 1830047-1–10.

Sudhu, S. & Kuehn, C. [2018] “Stochastic mixed-mode oscillations in a three-species predator–prey model,” *Chaos* 28, 033606.

Takahashi, H., Kousaka, T., Asahara, H., Stankevich, N. & Inaba, N. [2018] “Mixed-mode oscillation-incrementing bifurcations and a devil’s staircase from a nonautonomous, constrained Bonhoeffer–van der Pol oscillator,” *Prog. Theor. Exp. Phys.* 2018, 103A02-1–16.

Tsumoto, K., Kurata, Y., Furutani, K. & Kurachi, Y. [2017] “Hysteretic dynamics of multi-stable early after depolarisations with repolarisation reserve attenuation: A potential dynamical mechanism for cardiac arrhythmias,” *Sci. Rep.* 7, 10771-1–12.

Yoshinaga, T., Kawakami, K. & Yoshikawa, K. [1988] “A circuit metaphor for nonlinear oscillation in a chemical system at a water-oil interface,” *IEICE Trans. J71-A*, 1843–1851 (in Japanese).

Zvonkin, A. K. & Shubin, M. A. [1984] “Non-standard analysis and singular perturbations of ordinary differential equations,” *Russ. Math. Surv.* 39, 69–131.